

# Modellbildung und Simulation

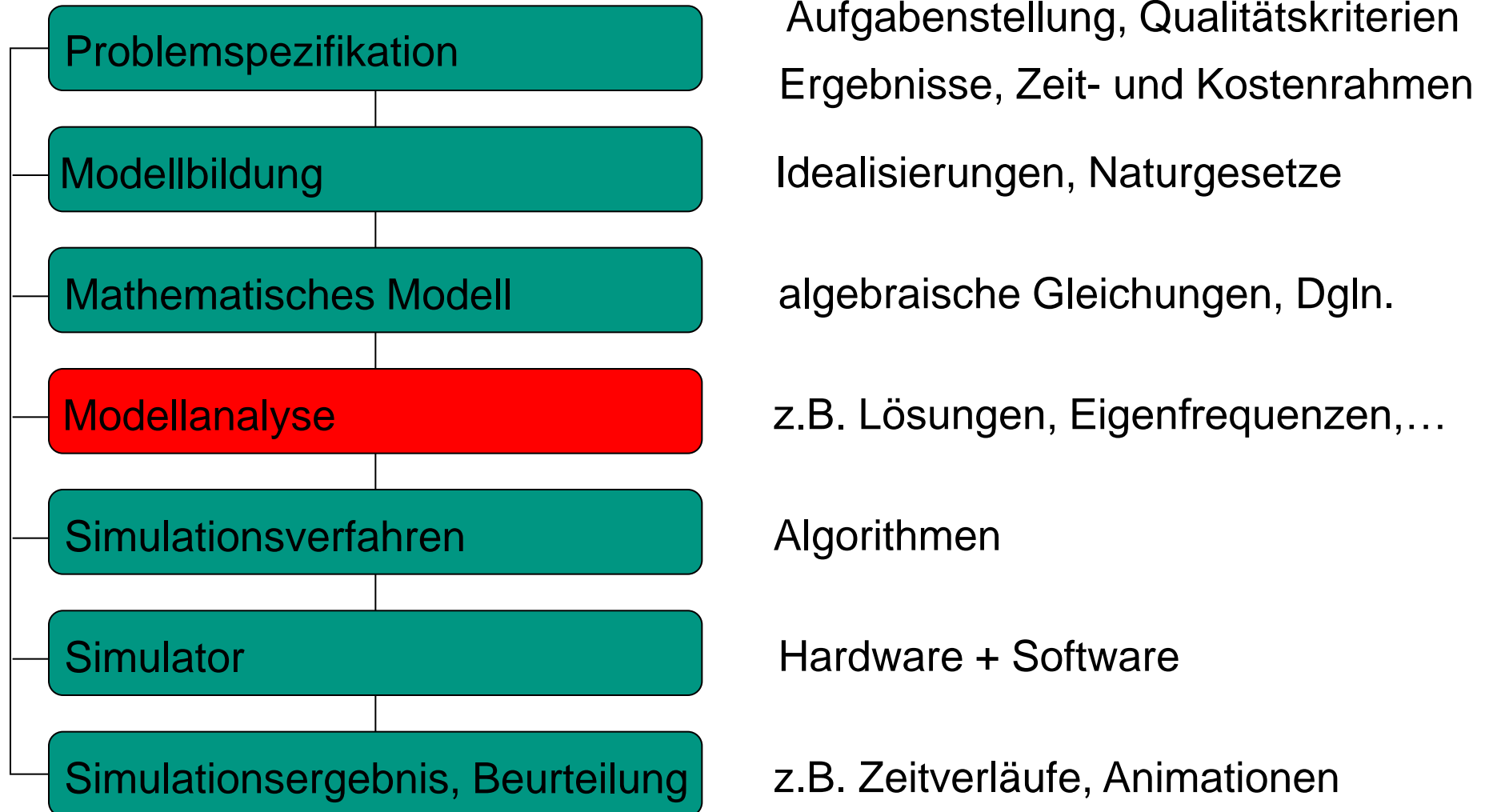
## Zeitkontinuierliche Modelle mit konzentrierten Parametern



INSTITUT FÜR TECHNISCHE MECHANIK / BEREICH DYNAMIK UND MECHATRONIK

# Umfang und Ablauf einer Simulationsstudie

## ■ Ablauf einer Simulationsstudie



## ■ Die Studierenden

- kennen Darstellungsformen für gewöhnliche Differentialgleichungen,
- kennen Untersuchungsmethoden zur Bestimmung des Lösungsverhaltens in der Umgebung eines Gleichgewichtspunktes,
- können das Richtungsfeld einer gewöhnlichen Differentialgleichung skizzieren,
- können Gleichgewichtspunkte der Lösung einer gewöhnlichen Differentialgleichung auffinden und deren Stabilitätseigenschaften charakterisieren.

# Modelleigenschaften und Modellanalyse

1. Gewöhnliche Differentialgleichungen
2. Richtungsfeld
3. Gleichgewichtswert und Linearisierung
4. Stabilität
5. Phasenportraits

# 1.1 Gewöhnliche Differentialgleichungen

## ■ Gewöhnliche Differentialgleichung

$$\Phi\left(t, y(t), \dot{y}(t), \dots, y^{(n)}(t)\right) = 0$$

## ■ Differentialgleichungen $n$ -ter Ordnung

$$y^{(n)} = f\left(t, y, y^{(1)}, \dots, y^{(n-1)}\right)$$

## ■ Systeme erster Ordnung



$$\begin{cases} y_1 = y \\ y_2 = y^{(1)} \\ \vdots \\ y_n = y^{(n-1)} \end{cases}$$

$$\begin{pmatrix} \dot{y} \\ \ddot{y} \\ \dots \\ y^{(n)} \end{pmatrix} = \frac{d}{dt} \begin{pmatrix} y_1 \\ y_2 \\ \dots \\ y_n \end{pmatrix} = \begin{pmatrix} y_2 \\ y_3 \\ \dots \\ f\left(t, y_1, y_2, \dots, y_{n-1}\right) \end{pmatrix}$$

# 1.1 Gewöhnliche Differentialgleichungen

## ■ Differentialgleichungs-Systeme erster Ordnung

$$\frac{d}{dt} \begin{pmatrix} y_1 \\ y_2 \\ \dots \\ y_n \end{pmatrix} = \begin{pmatrix} f_1(t, y_1, y_2, \dots, y_n) \\ f_2(t, y_1, y_2, \dots, y_n) \\ \dots \\ f_n(t, y_1, y_2, \dots, y_n) \end{pmatrix}$$

## ■ Vektorschreibweise

$$\dot{\mathbf{y}} = \mathbf{f}(t, \mathbf{y})$$

$$\mathbf{y} = \begin{pmatrix} y_1 \\ y_2 \\ \dots \\ y_n \end{pmatrix}; \quad \mathbf{f} = \begin{pmatrix} f_1(t, \mathbf{y}) \\ f_2(t, \mathbf{y}) \\ \dots \\ f_n(t, \mathbf{y}) \end{pmatrix}$$

## 1.2 Autonome Differentialgleichungssysteme

### ■ Autonomes System:

$$\begin{cases} \dot{\mathbf{y}} = \mathbf{f}(\mathbf{y}) \\ \mathbf{y}(t_0) = \mathbf{y}^0 = (y_1(t_0), \dots, y_n(t_0))^T \end{cases}$$

### ■ Autonomisierung:

$$\dot{\mathbf{y}} = \mathbf{f}(t, \mathbf{y}), \quad y_0(t) = t \quad \Rightarrow$$
$$\dot{\tilde{\mathbf{y}}} = \frac{d}{dt} \begin{pmatrix} y_0 \\ y_1 \\ \dots \\ y_{n-1} \\ y_n \end{pmatrix} = \begin{pmatrix} 1 \\ f_1(y_0, y_1, y_2, \dots, y_n) \\ \dots \\ f_{n-1}(y_0, y_1, y_2, \dots, y_n) \\ f_n(y_0, y_1, y_2, \dots, y_n) \end{pmatrix} = \tilde{\mathbf{f}}(\tilde{\mathbf{y}}) \quad \Rightarrow \quad \dot{\tilde{\mathbf{y}}} = \tilde{\mathbf{f}}(\tilde{\mathbf{y}})$$

## 1.2 Autonome Differentialgleichungssysteme

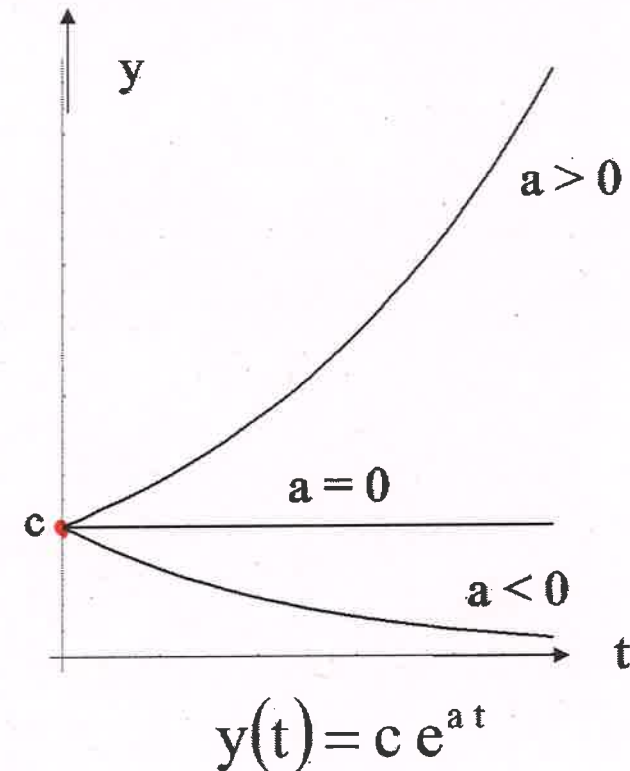
**Beispiel:** Wachstumsmodell, Änderungsgeschwindigkeit proportional zur Variable

$$\dot{y}(t) = a y(t)$$

$$\frac{dy}{dt} = a y(t) \Leftrightarrow \int \frac{dy}{y} = \int a dt$$

Bsp: radioaktiver Zerfall  $a < 0$ ,  
Kettenreaktionen  $a > 0$ .

Die Abbildung zeigt einige Lösungen  
für den Anfangswert  $y(0) = c$   
und verschiedene Werte des Parameters  $a$





### Lineares Differentialgleichungssystem erster Ordnung

$$\dot{\mathbf{y}} = \mathbf{A}(t) \mathbf{y} + \mathbf{f}(t)$$

$$\mathbf{A}(t) = \begin{pmatrix} a_{11}(t) & a_{12}(t) & \dots & a_{1n}(t) \\ a_{21}(t) & a_{22}(t) & \dots & \dots \\ \dots & \dots & \dots & \dots \\ a_{n1}(t) & \dots & \dots & a_{nn}(t) \end{pmatrix} \quad \mathbf{f}(t) = \begin{pmatrix} f_1(t) \\ f_2(t) \\ \dots \\ f_n(t) \end{pmatrix}$$

Ist  $\mathbf{A}$  **eine konstante Matrix**, so spricht man von einem **System mit konstanten Koeffizienten**

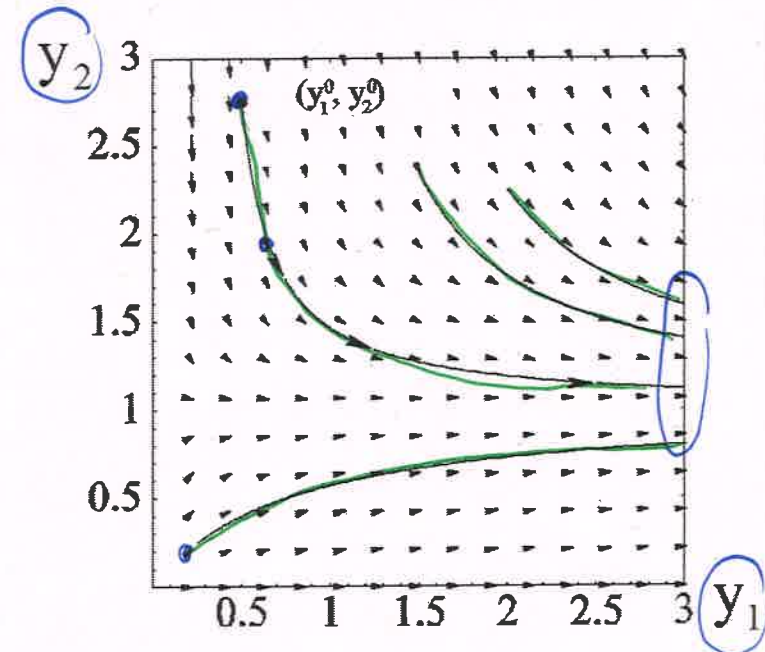
## 2. Richtungsfeld

Das Richtungsfeld einer Differentialgleichung:  $\dot{y} = f(y)$

Beispiel (2D-System):

$$\begin{cases} \dot{y} = y(1-y)/t \\ y(t_0) = y^0 \end{cases} \quad \text{mit} \quad \begin{cases} y_1 = t, y_2 = y \end{cases}$$

$$\frac{d}{dt} \begin{pmatrix} y_1 \\ y_2 \end{pmatrix} = \begin{pmatrix} 1 \\ y_2(1-y_2)/y_1 \end{pmatrix}$$



Aus dem Richtungsfeld lässt sich das qualitative Verhalten von Lösungen unmittelbar erkennen.

### 3. Gleichgewichtswert und Linearisierung

Ein singulärer Punkt oder Gleichgewichtspunkt ist definiert durch

$$y_s : f(y_s) = 0$$

**Bsp 1:**  $\dot{y} = f(y) = Ay + c,$

$$f(y_s) = 0 \Rightarrow Ay_s + c = 0$$

$$\Rightarrow y_s = -A^{-1}c, \quad (\det(A) \neq 0)$$

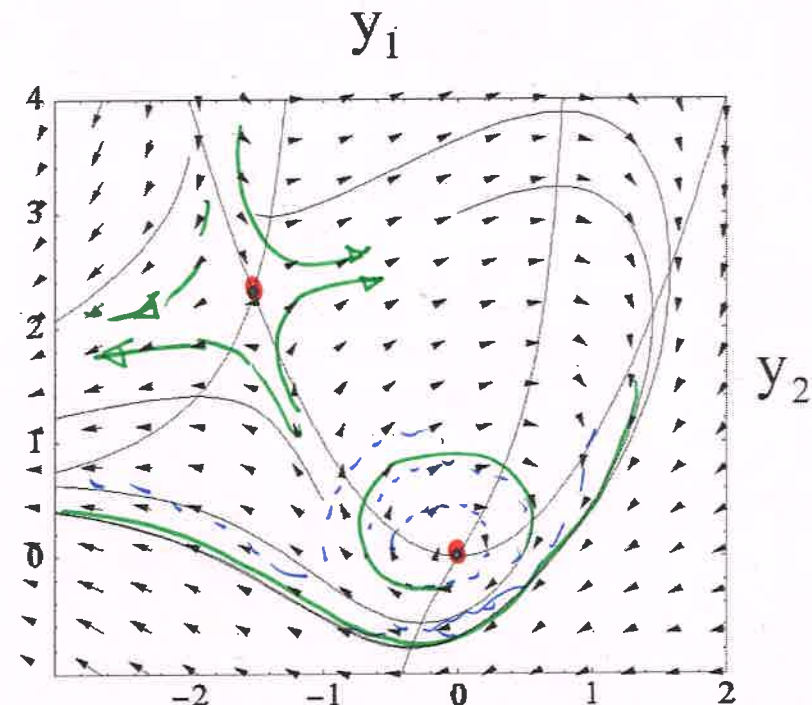
**Bsp 2:** 
$$\begin{cases} \dot{y}_1 = y_2 - y_1^2 \\ \dot{y}_2 = -y_1 + \frac{1}{2}(1 - y_1^2)y_2 \end{cases} = \begin{bmatrix} 0 \\ 0 \end{bmatrix}$$

Bedingung für  
singuläre Punkte:  $y_2 - y_1^2 = 0$   
 $-y_1 + \frac{1}{2}(1 - y_1^2)y_2 = 0$

Lösung:

$$(y_1, y_2) = (0, 0)$$

$$(y_1, y_2) = (-1.52, 2.31)$$



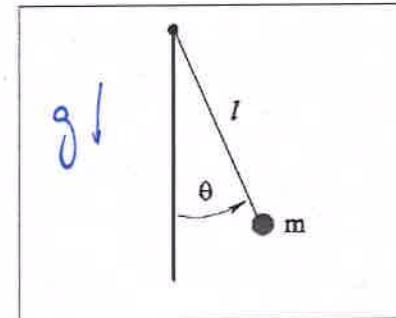
### 3. Gleichgewichtswert und Linearisierung

Pendel

Reibbeiwert  $k$

$$\underbrace{ml^2 \ddot{\theta} + k\dot{\theta} + mgl \sin(\theta)} = 0 \Rightarrow \begin{cases} y_1 = \theta \\ y_2 = \dot{\theta} \end{cases}$$

$$\begin{cases} \dot{y}_1 = y_2 \\ \dot{y}_2 = -\frac{g}{l} \sin(y_1) - \frac{k}{ml^2} y_2 \end{cases}$$

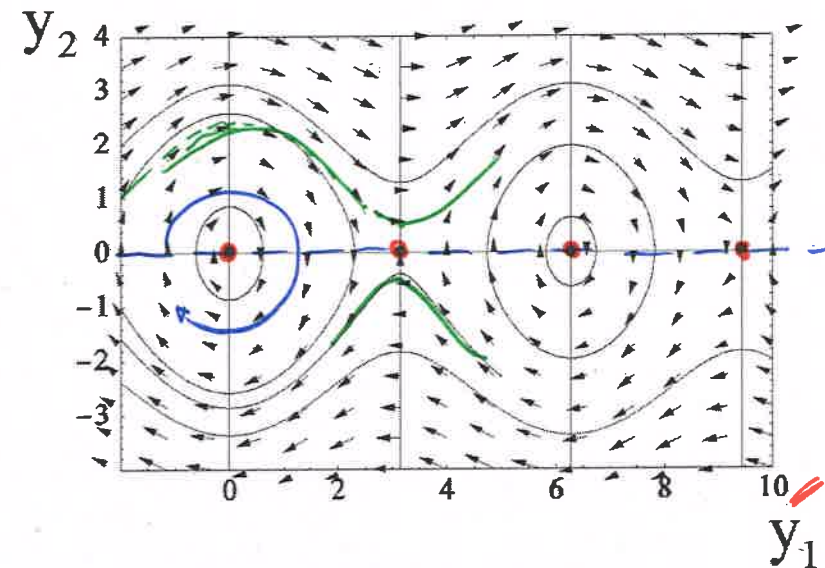


Ideales Pendel

$$\boxed{\ddot{\theta} = -\frac{g}{l} \sin(\theta)} \Rightarrow \begin{cases} k = 0 \\ \dot{y}_1 = y_2 = 0 \\ \dot{y}_2 = -\frac{g}{l} \sin(y_1) \end{cases}$$

Energie

$$E = \frac{1}{2} ml^2 \dot{\theta}^2 + mgl(1 - \cos(\theta))$$



### 3. Gleichgewichtswert und Linearisierung

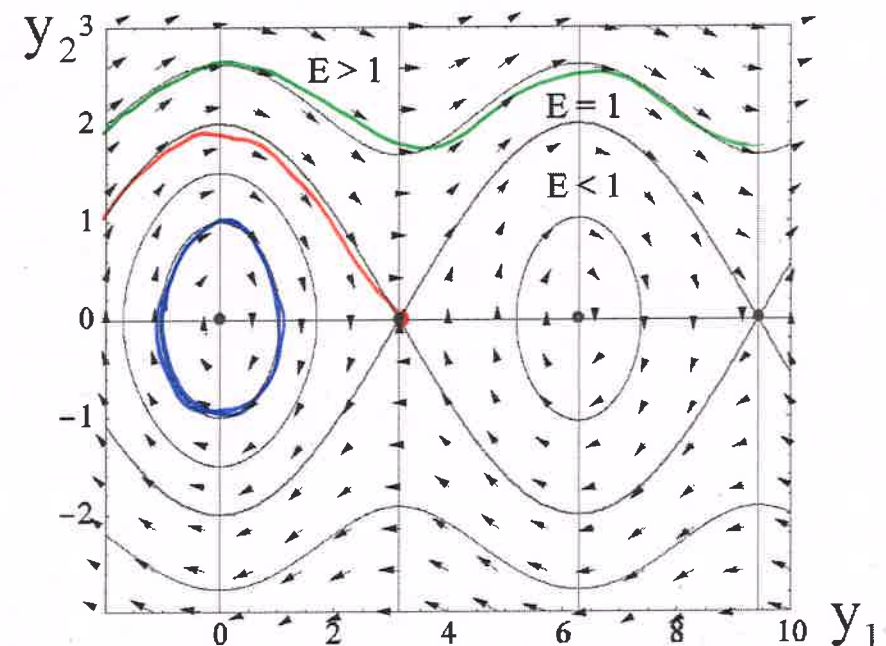
- (i) Für  $E < 2mgl$  sind die Lösungen periodisch.
- (ii) Für  $E > 2mgl$  wird die Geschwindigkeit nie null.  
Das Pendel schwingt über.
- (iii) Im Grenzfall  $E = 2mgl$  (rote Kurven) nähert sich das Pendel dem instabilen höchsten Punkt, ohne ihn jedoch in endlicher Zeit zu erreichen.

$$E = \frac{1}{2} ml^2 \dot{\theta}^2 + mgl(1 - \cos(\theta))$$

Singuläre Punkte:

$$y_1 = \pi j, \quad j = 0, \pm 1, \pm 2, \dots$$

$$y_2 = 0$$





## 4. Stabilität

### Linearisierung

$$\left. \frac{d\vec{y}}{dt} \right|_{y_s} = \vec{f}(y_s) = \vec{0}$$

$$\frac{d(\vec{y} - \vec{y}_s)}{dt} = \frac{d\vec{\eta}}{dt} \approx \underbrace{\vec{f}(y_s)}_{\vec{0}} + \underbrace{f_y|_{y=y_s}}_{\text{Jacobi-Matrix}} (\vec{y} - \vec{y}_s)$$

$$\left. \begin{array}{l} \vec{\eta} = (\vec{y} - \vec{y}_s) \\ \vec{f}(y_s) = \vec{0} \end{array} \right\} \Rightarrow$$

$$\Rightarrow \frac{d\vec{\eta}}{dt} \approx \mathbf{J} \vec{\eta} \quad \sim \exp(\mathbf{J}t)$$

Jacobi-Matrix

$$\mathbf{J} = f_y|_{y=y_s} = \begin{pmatrix} \frac{\partial f_1}{\partial y_1} & \frac{\partial f_1}{\partial y_2} & \dots & \frac{\partial f_1}{\partial y_n} \\ \frac{\partial f_2}{\partial y_1} & \frac{\partial f_2}{\partial y_2} & \dots & \frac{\partial f_2}{\partial y_n} \\ \dots & \dots & \dots & \dots \\ \frac{\partial f_n}{\partial y_1} & \frac{\partial f_n}{\partial y_2} & \dots & \frac{\partial f_n}{\partial y_n} \end{pmatrix}_{y=y_s}$$

Lösung

$$\vec{\eta} = \vec{\eta}_0 e^{\mathbf{J}t}$$

$$\exp(\mathbf{J}t) = \sum_{k=0}^{\infty} \frac{\mathbf{J}^k t^k}{k!}$$

$$\mathbf{J}^k = \underbrace{\mathbf{J} \dots \mathbf{J}}_{k\text{-mal}}$$

## 4. Stabilität

### Linearisiertes System

■ stabil, wenn  $\lim_{t \rightarrow \infty} \|\boldsymbol{\eta}(t)\| = \lim_{t \rightarrow \infty} \|\boldsymbol{\eta}_0 e^{\mathbf{J}t}\| = 0$

für alle Anfangswerte  $\boldsymbol{\eta}_0$ ,

■ neutral stabil, wenn Lösungen  $\boldsymbol{\eta}(t)$  für alle  $t > 0$  beschränkt bleiben und es Startwerte  $\boldsymbol{\eta}_0$  gibt, für die  $\boldsymbol{\eta}(t)$  nicht gegen 0 konvergiert,

■ instabil, wenn  $\lim_{t \rightarrow \infty} \|\boldsymbol{\eta}(t)\| \rightarrow \infty$

für einen Anfangswert  $\boldsymbol{\eta}_0$ .

#### 4. Stabilität

$$\exp(Jt) = \sum_{k=0}^{\infty} \frac{J^k t^k}{k!} = \sum_{k=0}^{\infty} \frac{J^k t^k}{k!} = \sum_{k=0}^{\infty} \frac{(Q^{-1} \Lambda Q)^k t^k}{k!} = \sum_{k=0}^{\infty} \frac{Q^{-1} \Lambda^k Q t^k}{k!}$$

- Stabilität lässt sich mit Hilfe der Eigenwerte  $\lambda$  von  $J$  charakterisieren. Notwendig und hinreichend ist, dass für alle Eigenwerte  $\text{Re}(\lambda) < 0$  ist.

$$J = Q^{-1} \Lambda Q$$

$$\eta(t) = \eta_0 e^{Jt} = Q^{-1} \eta_0 e^{\begin{pmatrix} \lambda_1 & & \\ 0 & \dots & \\ 0 & 0 & \lambda_n \end{pmatrix} t} Q$$

$$(Q^{-1} \Lambda Q)^k = Q^{-1} \underbrace{\Lambda Q Q^{-1} \Lambda Q \dots Q^{-1} \Lambda Q}_k = Q^{-1} \underbrace{\Lambda \dots \Lambda}_k Q = Q^{-1} \Lambda^k Q$$

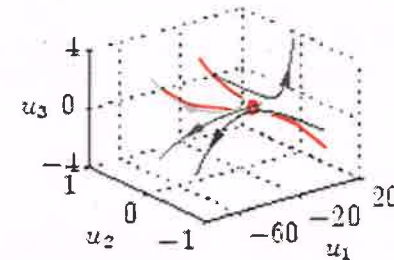
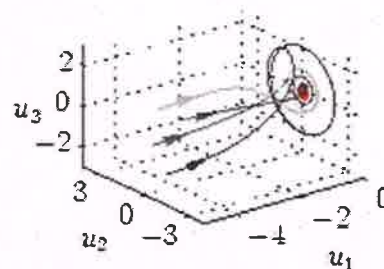
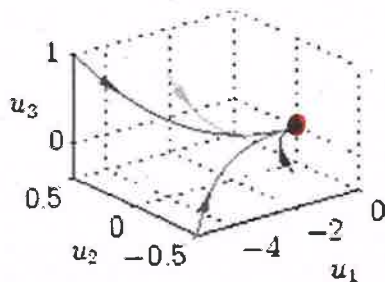
- Beispiele für Stabilität, neutrale Stabilität und Instabilität:  $\dot{\eta} = J \eta$

$$J = \begin{pmatrix} -1 & 0 & 0 \\ 0 & -2 & 0 \\ 0 & 0 & -3 \end{pmatrix}$$

$$J = \begin{pmatrix} -1 & 0 & 0 \\ 0 & 0 & 1 \\ 0 & -1 & 0 \end{pmatrix}, \quad \lambda = (-1, i, -i)$$

$$\text{Re}(\lambda) \leq 0$$

$$J = \begin{pmatrix} 1 & 0 & 0 \\ 0 & -2 & 0 \\ 0 & 0 & 3 \end{pmatrix}$$





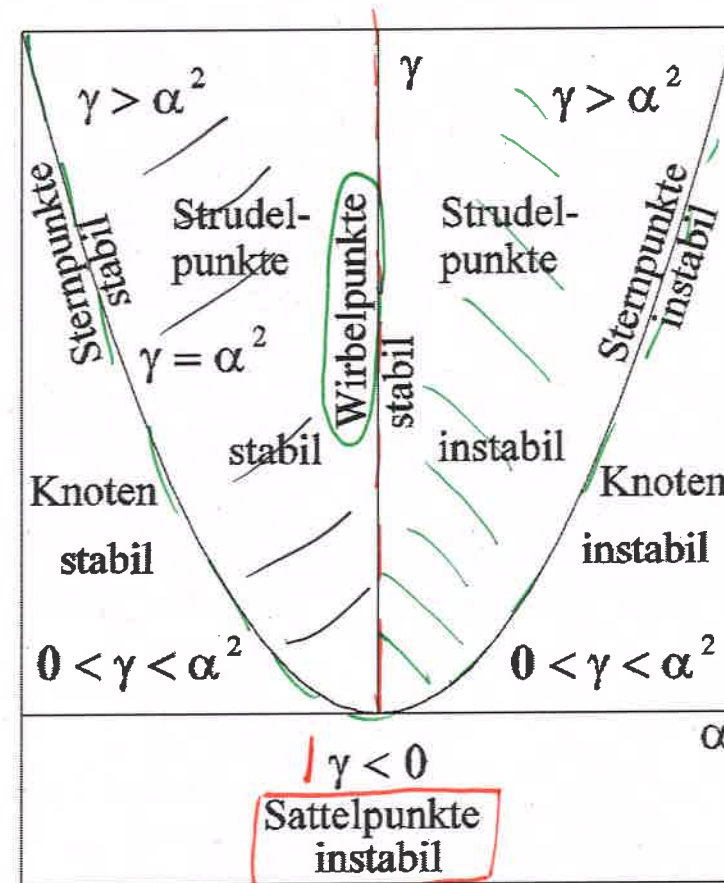
## 5. Phasenportraits linearer Systeme

Stabilitätskarte für lineare autonome DGL-Systeme im  $\mathbb{R}^2$

$$\mathbf{J} = \begin{pmatrix} j_{11} & j_{12} \\ j_{21} & j_{22} \end{pmatrix}; \quad \begin{cases} \gamma = \det(\mathbf{J}) = j_{11}j_{22} - j_{12}j_{21} \\ \alpha = \frac{1}{2} \text{Spur}(\mathbf{J}) = \frac{1}{2}(j_{11} + j_{22}) \end{cases}$$

### Eigenwerte

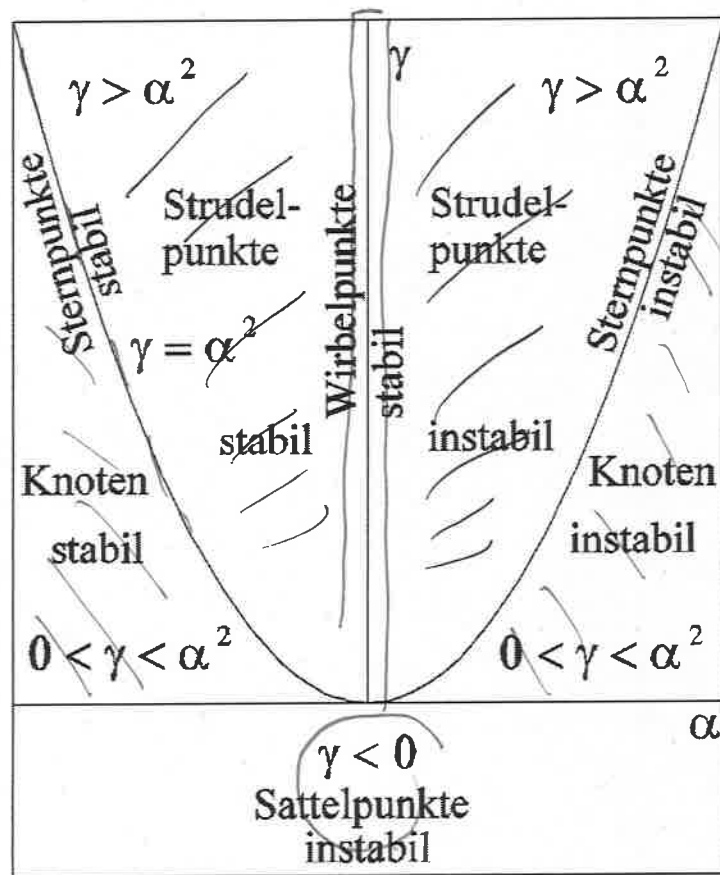
$$\left. \begin{aligned} \lambda_1 &= \alpha + \sqrt{\alpha^2 - \gamma} \\ \lambda_2 &= \alpha - \sqrt{\alpha^2 - \gamma} \end{aligned} \right\}$$



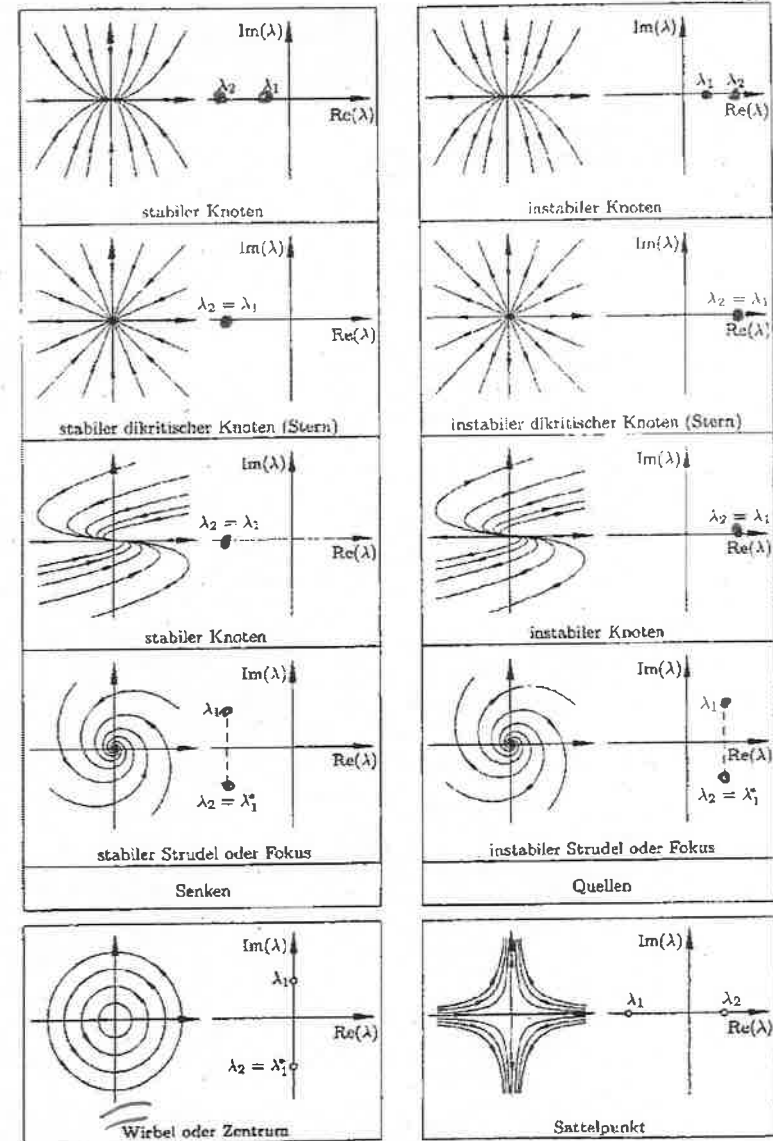
## 5. Phasenportraits linearer Systeme

$$\lambda_1 = \alpha + \sqrt{\alpha^2 - \gamma}$$

$$\lambda_2 = \alpha - \sqrt{\alpha^2 - \gamma}$$



$$\begin{bmatrix} 1 & 1 \\ 0 & 1 \end{bmatrix}$$



## ■ Nächste Vorlesung:

- Simulation: Wie können Systeme gewöhnlicher Differentialgleichungen numerisch gelöst werden?

## ■ Nächste Übung:

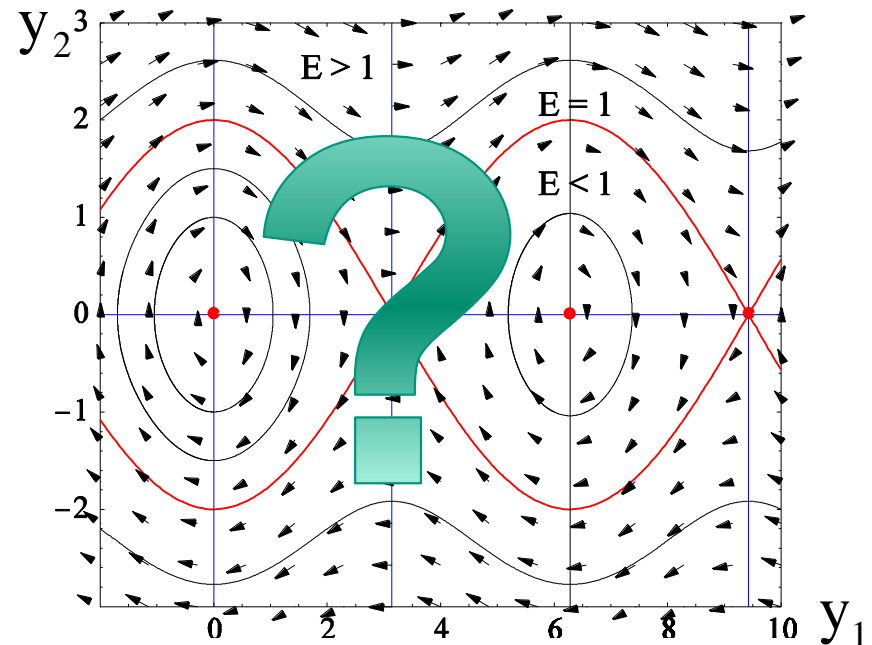
- Richtungsfeld, Stabilitätsuntersuchungen für Systeme gewöhnlicher Differentialgleichungen (Saal)

# Problem der Woche

Wie ändern sich Richtungsfeld und Phasenportrait der Schwingungsdifferentialgleichung, wenn Dämpfung vorliegt?

$$k \neq 0$$
$$ml^2 \ddot{\theta} + k \dot{\theta} + mgl \sin(\theta) = 0 \quad \Rightarrow \quad \begin{aligned} y_1 &= \theta \\ y_2 &= \dot{\theta} \end{aligned}$$

$$\begin{cases} \dot{y}_1 = y_2 \\ \dot{y}_2 = -\frac{g}{l} \sin(y_1) - \frac{k}{ml^2} y_2 \end{cases}$$



# Problem der Woche

$$k \neq 0$$

$$ml^2 \ddot{\theta} + k \dot{\theta} + mgl \sin(\theta) = 0 \quad \Rightarrow \quad \begin{aligned} y_1 &= \theta \\ y_2 &= \dot{\theta} \end{aligned}$$

$$\begin{cases} \dot{y}_1 = y_2 \\ \dot{y}_2 = -\frac{g}{l} \sin(y_1) - \frac{k}{ml^2} y_2 \end{cases}$$

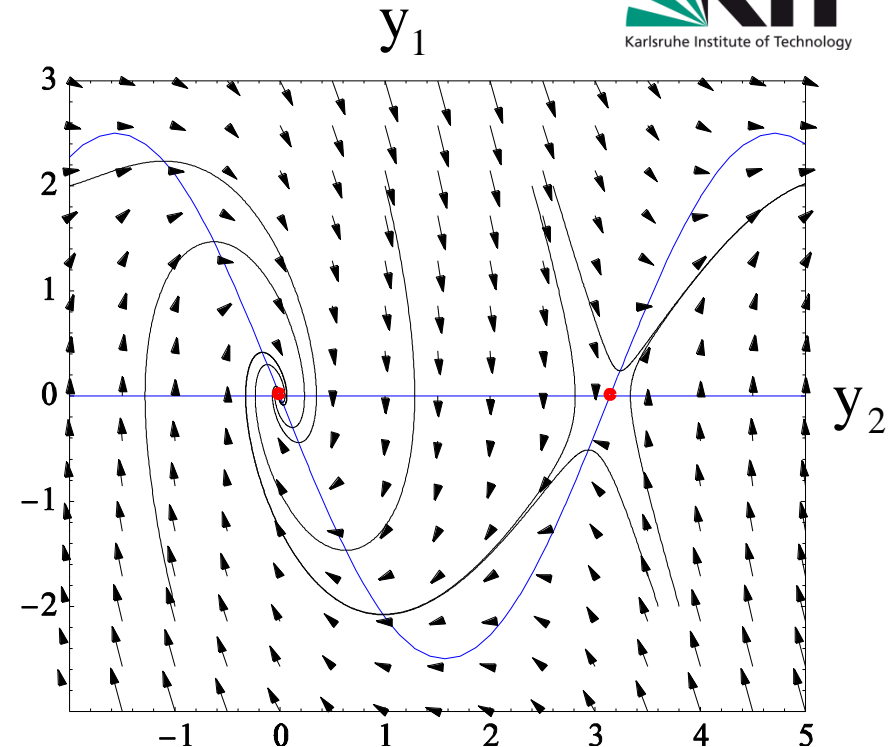
$$\mathbf{J} = \begin{pmatrix} 0 & 1 \\ -\frac{g}{l} \cos(y_1) & -\frac{k}{ml^2} \end{pmatrix}$$

$$\alpha = \frac{1}{2} \text{Spur}(\mathbf{J}) = -\frac{k}{2ml^2}$$

$$\gamma = \det(\mathbf{J}) = \frac{g}{l} \cos(y_1)$$

An den kritischen Punkten mit  $y_1 = 2j\pi$ ,  $j = 0, \pm 1, \pm 2, \dots$  ist  $\gamma > 0$  und somit sind diese Punkte stabil.

Entsprechend ist für  $y_1 = (2j+1)\pi$  die Determinante negativ, was Instabilität impliziert.



# Problem der Woche

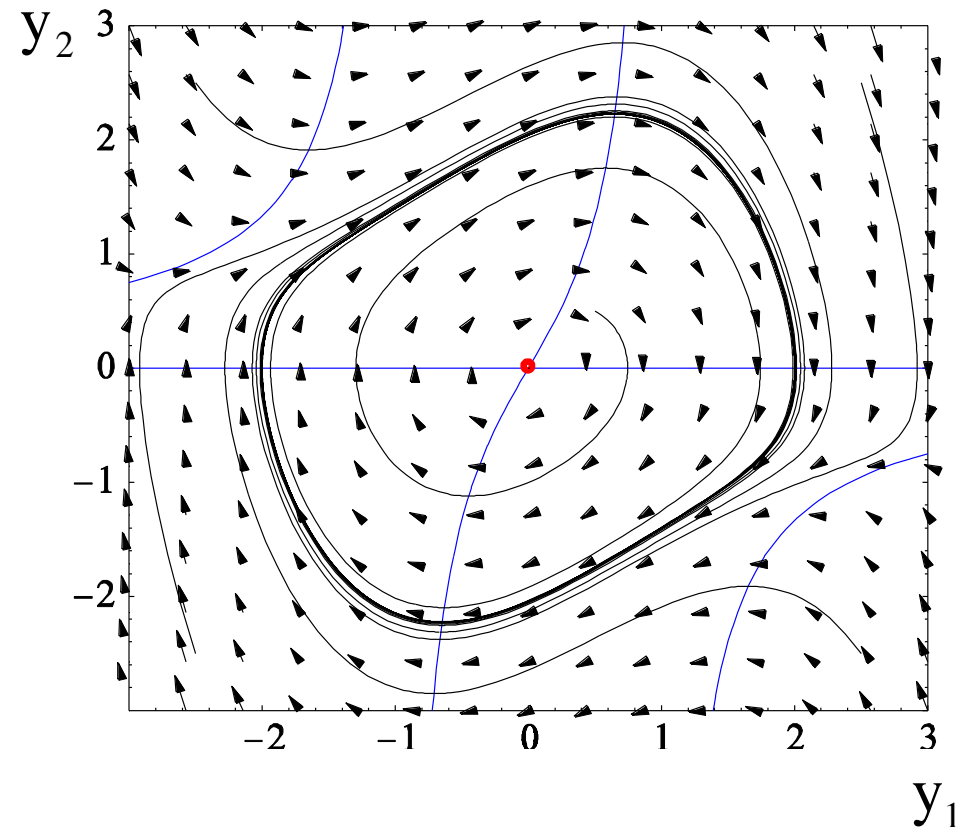
## Van der Pol Oszillator

$$\begin{cases} \dot{y}_1 = y_2 \\ \dot{y}_2 = -y_1 + \frac{1}{2} (1 - y_1^2) y_2 \end{cases}$$

$$\mathbf{J} = \begin{pmatrix} 0 & 1 \\ -1 - y_1 y_2 & \frac{1}{2} (1 - y_1^2) \end{pmatrix}$$

$$\mathbf{J}|_{(0,0)} = \begin{pmatrix} 0 & 1 \\ -1 & \frac{1}{2} \end{pmatrix}, \quad \lambda = \frac{1}{4} (1 \pm i\sqrt{15})$$

$$\operatorname{Re}(\lambda) > 0$$



Es tritt ein instabiler Strudel auf. Zusätzlich liegt ein Grenzzyklus vor.